

大阪府立工業高等専門学校 正員 平山秀夫

1. はじめに:これまで、重複波動中における底質の浮遊機構を解明するため、波動中の單一粒子の運動と種々の角度から検討してきた。ここでは、これまでに得られた実験結果を用いて、重複波動中における單一粒子の運動を運動方程式に基づいて検討しようとするもので、ここでは特に、波動中ににおける個体粒子の運動に及ぼす Basset term の影響を評価するため、以下に示す2つの方法で Basset term の概略値を数値計算で求め、若干の考察を加えたものである。

2. 従来提案されている変動速度場での球状個体粒子の基礎運動方程式: (1) 低 Re 数の場合 ( $Re \leq 1$ ): Tchen (1947) は静水中での B.B.O. 方程式を基にして、(i) 速度場は無限領域で一様である、(ii) 粒子の回転しない、(iii) Stokes の抵抗則が成立する、という仮定の下に変動速度場の流体中を運動する球の運動方程式を次式のように表わした。

$$M \frac{d\mathbf{v}_p}{dt} = m \frac{d\mathbf{u}}{dt} - \frac{1}{2} m \left( \frac{d\mathbf{v}_p}{dt} - \frac{d\mathbf{u}}{dt} \right) - 3\pi\mu d(v_p - u) - \frac{3}{2} d^2 \sqrt{\pi \beta \mu} \int_{t_0}^t \frac{d\mathbf{v}_p}{dt} - \frac{d\mathbf{u}}{dt} dt_i - g(M-m) \quad (1)$$

ここで、上式中の suffix の  $i$ ,  $p$  はそれぞれ液体および粒子の特性を示し、 $M = \frac{4}{3} \pi d^3 \rho_p$ ,  $m = \frac{4}{3} \pi d^3 \rho_f$ ,  $\mu$  は粘性係数 ( $\approx 1.029 \times 10^{-5}$  g.sec/cm<sup>2</sup>),  $\rho_p$ ,  $\rho_f$  はそれぞれ粒子および液体の密度,  $t_0$  は starting time である。一方、Corrison and Lumley (1956) は、速度場が時間的に変化する場合 (inhomogeneity) の粒子の運動方程式は次式で表現されるべきであることを提案している。

$$M \frac{D(\mathbf{v}_p)}{Dt} = m \left[ \frac{D(\mathbf{u})}{Dt} - \nu \frac{\partial^2 (\mathbf{u})}{\partial x_i \partial x_j} \right] - \frac{1}{2} m \frac{D}{Dt} \left[ (v_p)_i - (u)_i \right] - 3\pi\mu d \left[ (v_p)_i - (u)_i \right] - \frac{3}{2} d^2 \sqrt{\pi \beta \mu} \int_{t_0}^t \frac{D}{Dt} \left[ (v_p)_i - (u)_i \right] \frac{d}{dt} \left[ \frac{D}{Dt} \left[ (v_p)_i - (u)_i \right] \right] dt_i \quad (2)$$

ここで、subscript の  $i, j, k$  は conventional Cartesian tensor の記号で、 $D/Dt = \partial/\partial t + (v_p)_k \partial/\partial x_k$  である。

(2) 高 Re 数の場合 ( $Re > 1$ ): Tchen (1947) は元から式(2)を提案している。

$$M \frac{d\mathbf{v}_p}{dt} = m \frac{d\mathbf{u}}{dt} - k \cdot m \left( \frac{d\mathbf{v}_p}{dt} - \frac{d\mathbf{u}}{dt} \right) - C_D \frac{\pi d^2 \rho_f}{4} \frac{(v_p - u)^2}{2} - \frac{3}{2} d^2 \sqrt{\pi \beta \mu} \int_{t_0}^t \frac{d}{dt} (v_p - u) \frac{d}{dt} \left( \frac{d}{dt} (v_p - u) \right) dt_i \quad (3)$$

ただし、 $k$  は virtual mass parameter と acceleration parameter  $\{(d\mathbf{v}_p/dt - d\mathbf{u}/dt) \cdot d\}/(v_p - u)^2$  の関数、 $C_D$  は抵抗係数で  $(v_p - u) \cdot d/\nu$  の関数である。なお、この式(3)では、Basset term を式(1)と全く同様に定義しているが、高 Re 数の場合には、一般的には Basset term は定義できなくて、virtual mass の項に含んで考えると、あるいは全く省略するのが普通のようである (Graf, W.H. 著 Hydraulics of sediment transport p.33)。

3. 基礎運動方程式の検討: 以上2. で示したように、変動速度場での個体粒子の運動方程式は種々提案されていて、だが、波動の場では時間的に速度が変化することから式(2)を用い、さらに後述するように、相対速度差による粒子 Re 数も常に 1 よりも大であることから、式(2)中の抵抗項や virtual mass の項に式(3)のよろ修正を加えた結果の式を用いて計算すべきであるが、ここでは、運動方程式中の各項の重力項に対する概略計算をすることによって特に Basset term の効果の程度を調べることに主眼をおいていくことから、最も簡単な式(3)を用い、さらに、次のよう仮定の下で、鉛直方向の速度成分のみに限定して検討することとする。

(1) 仮定: i) 波動速度場は、微小振幅理論で十分表現されてるものとする。 ii) Stokes の抵抗則が成立するものとする。 iii) Basset term の中の  $\nu$  は読み取る開始点  $t=0$  から 1 周期 ( $T$ ) までの間の値をとるものとする。

(2) 単一粒子の諸特徴: i) 直径  $d = 0.2$  cm, ii) 漂降速度  $w_0 = 2.15$  cm/sec, iii) 漂降速度による粒子 Re 数 = 43 (> 1) iv) 粒子比重  $\rho_p/\rho_f = 1.032$

(3) 重力項に対する各項の比の値： ここでは、式(1)中の重力項  $g(M-m)$  を他の各項を除し、無次元化して、値を数値計算を行った。

- (i) 重力項に対する Basset term の比の値 (BT1 とする) :  $BT1 = 0.0813 \times \int \frac{\frac{t}{dt_i} (w_p - w_f)}{\sqrt{t-t_i}} dt_i$  ----- (4)
- (ii) " Virtual mass 項の比の値 (VM) :  $VM = 0.0189 \cdot (dw_p/dt - dw_f/dt)$  ----- (5)
- (iii) " Stokes の抵抗項の比の値 (RE) :  $RE = 0.1447 \cdot (w_p - w_f)$  ----- (6)
- (iv) " 圧力項の比の値 (PR) :  $PR = 0.03189 \cdot dw_f/dt$  ----- (7)
- (v) " 粒子を加速させる力の総和の比の値 (FP) :  $FP = 0.03291 \cdot dw_p/dt$  ----- (8)

(4) Basset term の数値計算の方法： (i) 方法(1)：Basset term を直接数値計算する方法で、実験値の競合とり間隔  $dt_i$  (ストロボの照射周期) 刻みで差分化して数値計算する方法で、その差分化は次のようである。

$$\frac{\frac{t}{dt_i} (w_p - w_f)}{\sqrt{t-t_i}} = \sum_{i=1}^n \left( \frac{\Delta w_p}{\Delta t_i} - \frac{\Delta w_f}{\Delta t_i} \right) \frac{1}{\sqrt{t_{i+1} - t_i}}, \quad \left( \frac{\Delta w_p}{\Delta t_i} \right)_i = \frac{x_{i+1} - 2x_i + x_{i-1}}{(\Delta t_i)^2}, \quad \left( \frac{\Delta w_f}{\Delta t_i} \right)_i = \frac{(w_f)_{i+1} - (w_f)_{i-1}}{2\Delta t_i} ----- (9)$$

ただし、具体的には、 $\Delta t_i = 0.075 \text{ sec}$ ,  $T = 1.15 \text{ sec}$ ,  $n = T/\Delta t_i \approx 15$  として求めた。

(ii) 方法(2)：式(1)中の Basset term を除いた他の各項を数値計算してその結果から Basset term を評価する方法で、この方法によつて得られた結果を BT2 とすれば、BT2 は式(1)および式(5)～(8)を用いて次のように求められる。

$$BT2 = -FP + PR - DM - RE - 1.0 ----- (10)$$

4. 解析結果および考察： 以上のように 2 方法によって得られた数値計算結果の一例を表-1 に示す。また、表中の  $w_p$  (個体粒子の鉛直速度),  $w_f$  (波動理論による水粒子の鉛直速度),  $w_p - w_f$ , BT1 および BT2 の結果を図示し、その結果を図-1 である。これらの結果から明らかなるように、单一粒子が微小振幅理論で十分表現されていなくて考慮される速度場と運動する場合には、Basset term の重力項に対する比の値は、せいぜい 30% 程度であつて薄空間的に変化している。しかしながら、方法(2)によれば、Basset term は重力項の数倍に達する場合があり、必ずしも数値計算によつて方法(1)の結果と合致しない。この原因として、3. (i) で示した仮定による誤差や式(1)そのものの欠陥による誤差、あるいは数値計算にあつた、その分割のあらざりや starting time のとり方などの問題が考えられる。しかしながら、このように方法(1)と方法(2)による結果に著しい差異が生じる場合があつといふことは、式(1)では充分に個体粒子の運動を表現できないといふことにあり、式(1)の各項を表わせない外力の存在を前提としているものと想われるが、これがいかゆる波動中におり石流れに類似する効果などに相当するものであるから知れない。最後に本研究を行つてあたり、終始賜かいで指導を賜わった京都大学工学部教授一級教授、伊藤秀正賜わった京都大学防災研究所土木系人蔵機械工科から感謝の意を表す。なお、本研究は文部省科学研究奨励研究(A)による研究の一部であつることを併せて謝意を表す。

表-1 各項の数値計算結果

EX(4), Run. 23-34, h=30cm, z=-25cm, kx=3π/4 (between the loop and the node), H=12.28cm, T=1.15sec								
BT1	VM	RE	PR	FP	BT2	$w_p$	$w_f$	BT2-BT1
-0.014	-0.040	-0.472	0.829	0.776	-0.436	-1.224	2.039	-0.421
0.025	0.104	-0.450	0.723	0.362	-0.893	0.800	3.909	-0.913
0.038	0.034	-0.402	0.503	0.590	-0.719	2.608	5.387	-0.756
0.044	0.016	-0.385	0.177	0.154	-0.668	3.474	6.134	-0.713
0.010	-0.050	-0.400	-0.411	-0.554	-0.401	3.413	5.779	-0.420
0.009	-0.021	-0.406	-0.935	-1.101	-0.475	1.196	4.156	-0.484
-0.016	-0.013	-0.554	-1.246	-1.399	-0.540	-1.610	-3.528	-0.328
0.009	0.048	-0.456	-1.206	-1.148	-0.651	-4.576	-1.428	-0.654
0.012	0.038	-0.456	-0.319	-0.946	-0.693	-7.075	-3.426	-0.611
-0.001	0.018	-0.458	-0.310	-0.283	-0.587	-8.446	-5.475	-0.586
-0.003	-0.004	-0.454	0.179	0.178	-0.542	-8.568	-5.433	-0.538
-0.018	-0.021	-0.462	0.503	0.477	-0.492	-8.806	-4.611	-0.474
0.021	0.048	-0.453	0.646	0.768	-0.718	-6.356	-3.227	-0.739
0.016	-0.006	-0.438	0.676	0.687	-0.569	-4.661	-1.635	-0.585
0.001	-0.011	-0.443	0.654	0.655	-0.547	-3.098	-0.033	-0.548

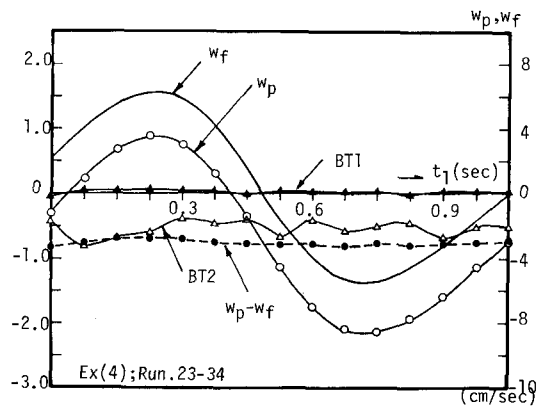


図-1  $w_p$  と  $w_f$  および BT1 と BT2 の比較